

鹿児島大学工学部 正会員 佐藤道郎

1. まえがき hydraulic breakwater(噴流防波堤)は空気防波堤とほぼ同様の消波機構に基く消波装置で、それらは英に水の波に対する high cut filterとしての役割をするものである。空気防波堤については消波機構から実用化までの広範な問題について近年京都大学で一連の研究が行われ、多くの成果が得られている。⁽¹⁾筆者は昨年の年譲で水表面附近に生じさせた水平噴流を通過する波の波高変化を述べたが、⁽²⁾通過の全過程での波の変化を追って消波効果を評価する為には碎波やその他のエネルギー遮散効果の評価等の細かい点での解説すべき問題が残されている。それらの検討も続けているが、消波機構の詳細は一先ずおいて、噴流防波堤がどの程度の消波効果を有するものかということについての概観を得るために、不規則波を用いて実験を若干行ってみた。そこで本文ではその結果について述べる。

2. 実験 図1に概要を示すように長さ30m、幅1mの水路を用いて実験を行った。波は直流サーボモータ駆動のフラップ式不規則波発生装置で起した。噴流は図2に示す多孔管を噴出孔が水面下5cmのところにくるようにして設置した。波高は容量式波高計、流速は超小型プロペラ式流速計で測定し、データレコーダーに記録した。噴流に関しては流量の検定装置もなく、限られた流量しか供給できないので、流量を幅広く変えて、消波効果を系統的に調べることはできなかった。水深は90cmで一定とし、供給流量も本装置で可能な最大限のもので行った限られた範囲での実験結果である。実験での流れの様子は図3に示す。

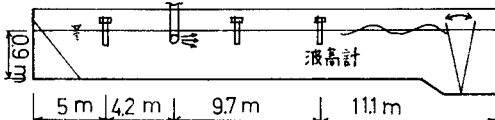


図1. 実験装置

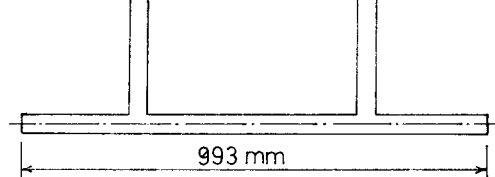


図2. 噴流発生装置

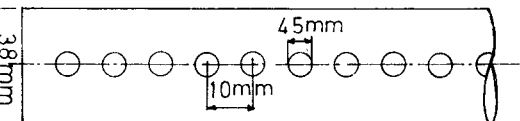


図3. 流速分布

3. 実験結果 入射波が流れの場を通過することによって生じるスペクトルの変化の一例は図4に示されている。空気防波堤ではエアバブルカーテンによって高周波の波が発生することが示されているが、ここで用いた装置では通過波に影響をもたらすような波の発生は見られない。このようなスペクトルの変化をもとにして、各成分波の振幅がどのような変化をするか図5に示した。この図では通過後の成分波のエネルギーが $1/2$ 、すなわち、振幅が入射波の0.707倍のときの周波数を f_c として周波数比 f/f_c と入射波および通過波の各成分波の振幅の比の間の関係を示している。本実験の範囲では f_c は0.90~0.98Hzの範囲であり変化がなかった。 A_i/A_t が1付近でかなり急速に A_t/A_i が減少して半分以下になるが、それより高域では変化はゆるやかとなる。しかし高域の成分波ほど振幅は小さいと考えられるから、通過波は滑らかなものとなっていく。図から A_t/A_i と f/f_c の間にはフィルターのように一対一の関係は見られないわけだが、これは振幅が減少する機構において碎波のように振幅そのものが効いてくるものがあるからである。このことは、京大における空気防波堤の研究で行っている成分波の波高を一定とし、その波高を変えたときの透過率曲線のモデル計算で示されている。⁽³⁾

図5のような高周波成分の減衰によって不規則波の代表波として有義波がどんな変化をするか示したのが図6

である。周期が短くなるにつれて波高は小さくなり、通過波の周期が長くなることが示される。 H_s は波高、 T_s は周期で添字(i)は入射波、(t)は通過波を表す。図中の印は表1のCase No.と対応する。

〈参考文献〉 岩垣雄一、他：空気防波堤に関する研究（第1～5報）第22～25回海岸工学講演会論文集、佐藤道郎：Hydraulic Breakwater の消波機能、第33回年次学術講演会概要集、岩垣雄一（代表者）：空気防波堤の改善とその実用化に関する研究、昭和52・53年度文部省科研費試験研究(I)研究成果報告書。
〈謝辞〉 本実験にあたり、新浦幸雄、濱田紀泰の両氏（当時学部学生）の手を煩わせたことを記し、感謝する次第である。

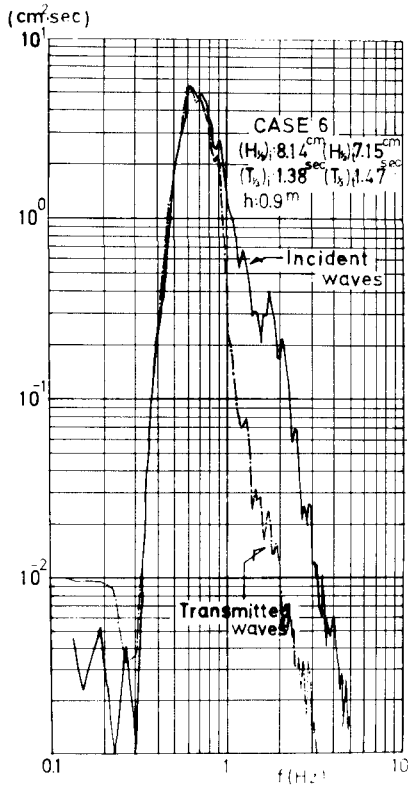


図4. 入射波と通過波のスペクトルの例

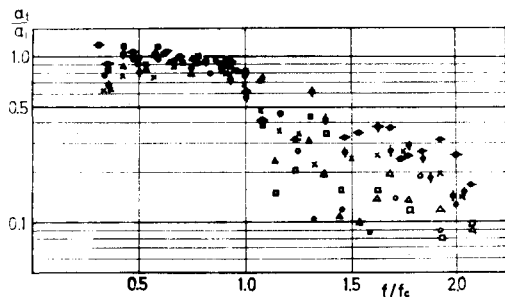


図5. 成分波の通過率

Case No.	入射波		通過波		圖 號
	$H_{s,i}$ (cm)	$T_{s,i}$ (sec)	$H_{s,t}$ (cm)	$T_{s,t}$ (sec)	
1	3.09	0.86	1.59	1.18	○
2	3.70	1.44	2.61	1.53	×
3	3.07	1.11	2.44	1.40	□
4	5.37	1.05	3.99	1.32	△
5	3.74	1.43	3.19	1.52	◆
6	8.14	1.38	7.15	1.47	◆
7	2.28	0.94	0.99	1.24	
8	4.28	0.88	2.16	1.25	
9	2.96	1.17	1.98	1.36	
10	4.25	1.13	3.04	1.36	
11	3.07	1.38	2.43	1.52	
12	6.61	1.46	4.97	1.55	

表1. 実験波の H_s ならびに T_s

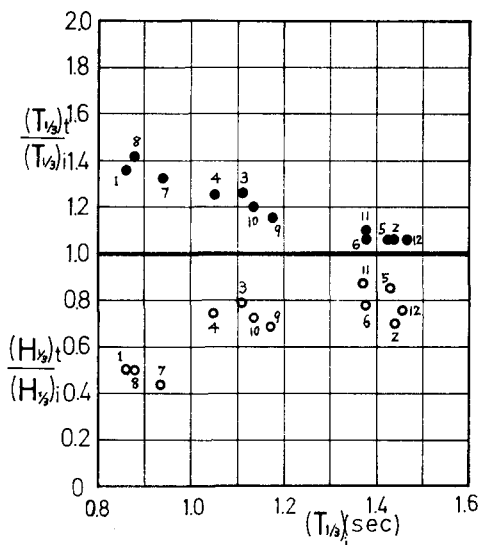


図6. 有義波高・周期の変化